

# トンネル切羽周辺の岩盤の変形とロックボルトの作用効果

京都大学工学部 正員 畠 昭治郎  
 京都大学工学部 正員 ○ 谷本 親伯  
 京都大学工学部 学生員 木村 宏

## 1. 緒論

いくつかのトンネル現場での知見と数値解析により切羽が仮支保工として果す作用がわめて重要であることを確認した。すなはち、切羽周辺のトンネルの安定は縦断面での半ドーム作用と横断面でのリング作用により保たれてい。半ドーム作用は、切羽の進行に従い急激に変化し、リング作用のみでは安定を得ることが困難な場合、半ドーム作用の発揮されている間に適切な支保工を施し、最終的にリング構造物としての安定を計らねばならない。いわゆるNATMは、えらべ地盤の有している耐荷力を出来るだけ發揮させるために半ドーム作用の変化を現場計測により確認し、リング作用の安定性を見出すことと具体化した施工法といえよう。ここに、弾性地盤および塑性地盤内のトンネル切羽周辺の応力・変位状態を示し、ロックボルト支保の作用を数値解析により示した。また、泥岩中のトンネルを例に挙げ、実際の現象と計算結果とを対比し、ロックボルトの効果を評価した。

## 2. 弾性体内でのロックボルトの作用

切羽周辺の岩盤の応力状態は、図-1, 2 に示すように、支保工の主な役割は半ドーム効果を肩代りすることにあると考えれば、その効果は切羽位置から最終状態までの応力および変位の変化に及ぼす影響として評価できる。

切羽に接近して全面定着されたロックボルトは縦断面内で曲げを受けることが判る。図-3は縦断面での主応力方向と壁面の変位状態を示したもので、斜め打ボルトや鏡止のホルトの効果を推察することができよう。ただし、弾性体内に打設されたロックボルトは、鉄筋コンクリートのように

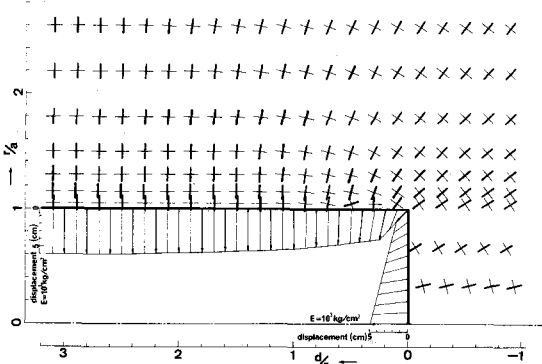


図-2 主応力の方向および変位

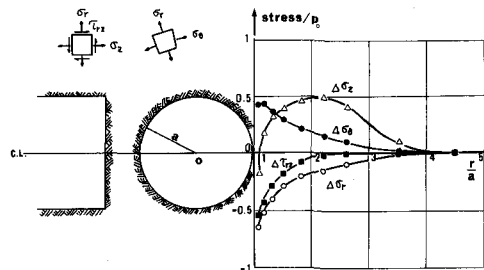


図-1 切羽位置から最終状態までの応力増分

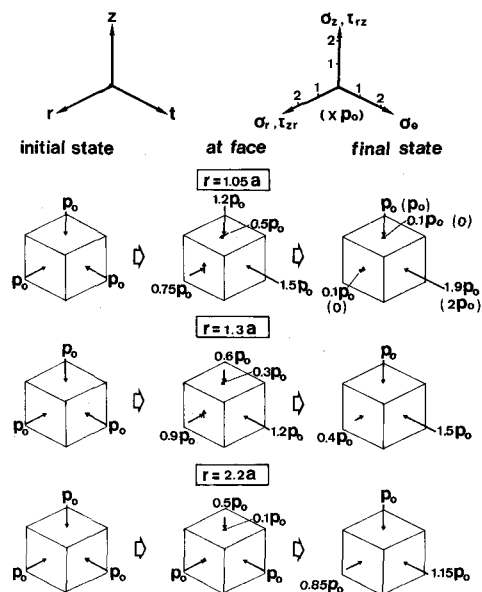


図-3 切羽位置での3次元応力状態

にかなり壁に打設しない限り天した効果は期待できない。現行の規模のロックボルトの効果を論ずる上では岩盤の塑性状態を考慮しなければならない。換言すれば、ロックボルトは塑性域にある岩盤を安定させるものである。

3. 構造要素としてロックボルトを扱った解析  
直径 10 m の円形トンネルに対し、図-4 に示す配  
置でボルトを打設した場合の変位と塑性域を FEM によ  
り算出した。降伏条件は、Drucker - Prager による。  
また、荷重条件は、掘削外力を作用させ、初期応力の  
内在する地盤を 1 間 (1 m) 每に逐次掘削するという  
過程を追究した。 $E = 10^3 \text{ kg/cm}^2$  の岩盤について無支  
保での壁面変位は 6 cm で、ボルティンゲートより 1 cm 少な  
くなるという結果を得た。また、図-5 は種々の  $C$ 、 $\phi$  をえた場合の無  
支保状態で生ずる塑性域を示している。切羽より少し後方に生ずる集中的  
な塑性域には目する必要があり、離断面における応力集中は極力避けね  
ばならない。ロックボルトを使用する場合、塑性域の拡がり方は、ほとんど無  
支保の場合と相似であるが、その領域は約 50 cm 減少している。(図-6)  
切羽前方に生ずる塑性域も半ドーム作用を減少させるので、切羽にロッ  
クボルトを打設する。

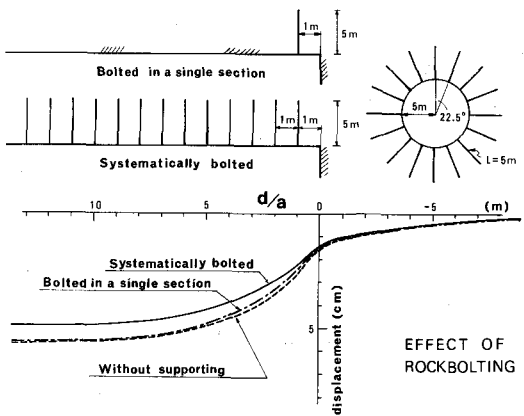
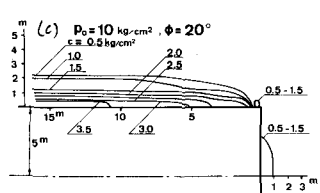
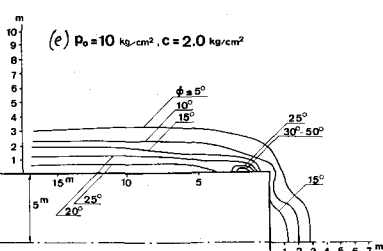
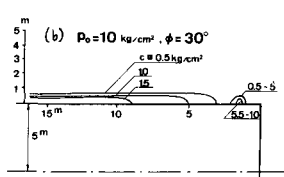
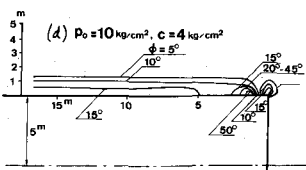
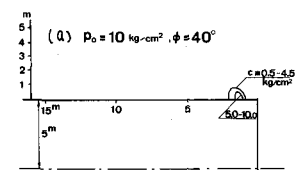


図-4 ロックボルトパターンと変位状態



↑ボルトを打設することは有効な支保工と考えられる。

#### 4. ロックボルトによる拘束圧の効率

ロックボルトの定着部における岩盤との相互作用を考慮してトンネル周辺の支保効率を考察したものは現時迄では見られない。定着部附近の相互作用がさわめて複雑に見たためであろう。しかしながら、トンネル周辺岩盤に対する支保効率は、全面接着型、先端定着型いずれについても拘束圧を附加してせん断強度を増加させることにあらうと考えられる。

そこで、この拘束圧を壁面に作用する内圧  $P_i$  に置き換え、種々の拘束圧作用下での塑性域りんの幅 ( $W_1$ )、壁面変位 ( $U_w$ ) および塑性域の平均的塑性ひずみ  $\varepsilon_p$  ( $= (\varepsilon_0 - \varepsilon_r)_{\text{plastic}}$ ) を図-8のような平面ひずみ状態による2重管モデルにより算出した。ハーフアンボルティングの壁面に与え得る圧力 ( $P_i$ ) を図-7に示す。

$W_1$ ,  $U_w$ ,  $\varepsilon_p$  は次式で表わされる。

$$W_1 = a \left[ \frac{2 \{ P_0 (5-1) + 8u \}}{(1+\zeta) \{ (5-1) P_i + 8u \}} \right]^{\frac{1}{5-1}} - a \quad (1)$$

$$U_w = \frac{1}{2\mu} \left\{ P_0 - \frac{2P_0 - 8u}{1+\zeta} \right\} \cdot \frac{R_i^2}{a} \quad (2)$$

$$\varepsilon_p = \frac{P_0 (5-1) + 8u}{\mu (1+\zeta)} \left\{ \frac{R_i}{a} - \frac{1}{5} \cdot \frac{R_i^5 - a^5}{R_i^{5-1} (R_i - a)} \right\} \quad (3)$$

ここで、 $P_0$ : 静水圧の初期応力、 $P_i$ : 回孔内壁に作用する内圧、  
 $8u$ : 一軸圧縮強度、 $\zeta$ : 内部摩擦角、 $\zeta = \frac{1+\sin\phi}{1-\sin\phi}$ 、 $\mu = \frac{E}{2(1+\nu)}$

計算条件(膨張性泥岩トンネルの一例)は次のとおりである。

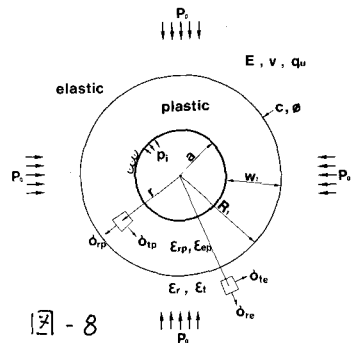
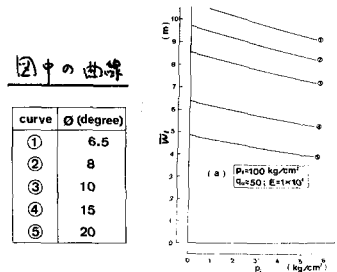


図-8



図中の曲線

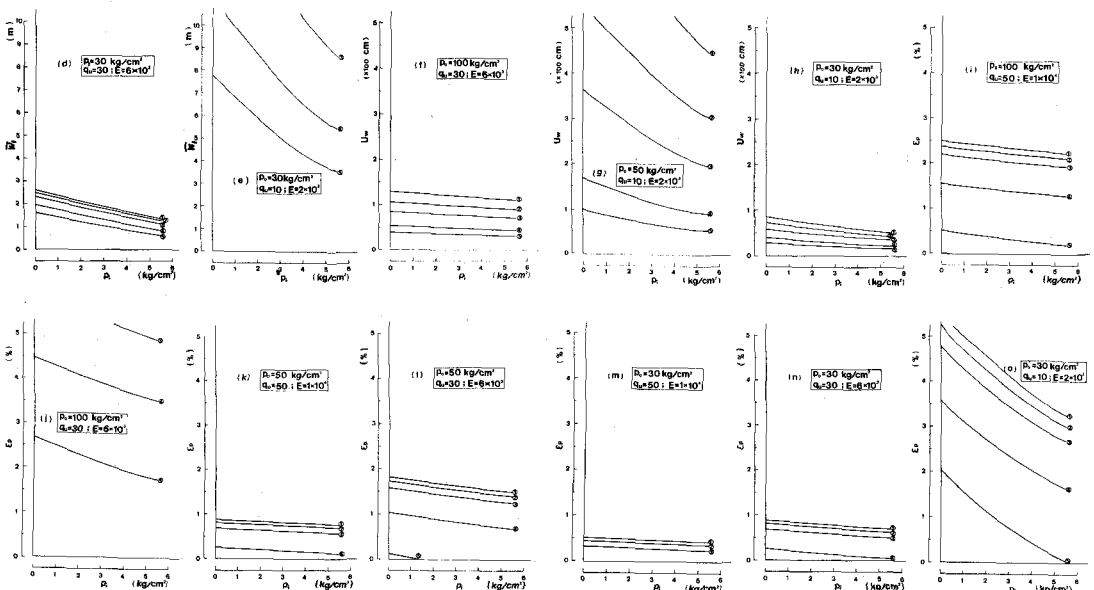
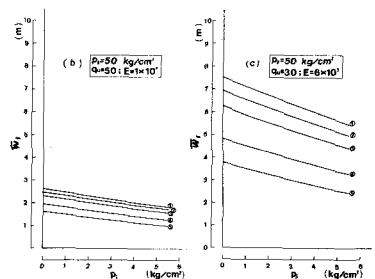


図-9 塑性域幅  $W_1$  (a) ~ (e) ; 壁面変位  $U_w$  (f) ~ (h) ; 塑性ひずみ  $\varepsilon_p$  (i) ~ (o)

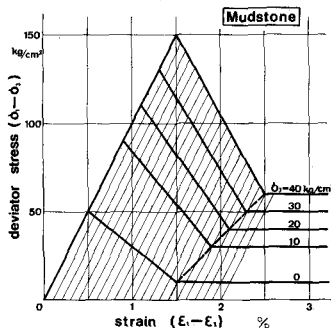


図-10 沈下量の応力-ひずみ

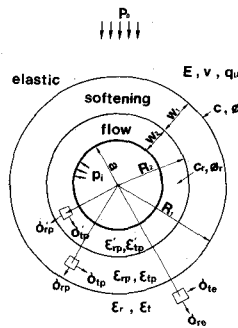


図-11

#### ANALYSIS OF SOFTENING & FLOW

INPUT :  $a$ ,  $E$ ,  $V$ ,  $q_u$ ,  $\phi$ ,  $\omega$ ,  $P_0$ ,  $P_i$ ,  $q'_u$ ,  $\phi'$

SOLVE :  $A_1 S_1^{n+m-2} - A_2 S_1^{m-1} + A_3 S_1^{n-1} = 0 \rightarrow S_1: \text{known}$

where

$$S_1 = R_1/R_2$$

$$A_1 = (b - dY - eY - q_u + q'c + q'eY + qfY)(\alpha^2 - df)(n - m)$$

$$A_2 = (d + en_2 - q'e - q'fn_2) \left[ [b - dY - eY - (2P_0 + q_u)/(1+q)](e + fn_2) - [c - eY - fY - (2P_0 + q_u)/(1+q)](d + en_2) \right]$$

$$A_3 = (d + en_2 - q'e - q'fn_2) \left[ [b - dY - eY - (2P_0 + q_u)/(1+q)](e + fn_2) - [c - eY - fY - (2P_0 + q_u)/(1+q)](d + en_2) \right]$$

$$m = \sqrt{d/f}$$

$$n = -m$$

$$Y = (c - b)/(1 - d)$$

$$b = (k_2 k_1 - k_1 k_2)/(k_2 - k_3)$$

$$c = -(k_1 - k_2)/(k_2 - k_3)$$

$$d = k_2 k_3 k_2/(k_2 - k_3)$$

$$e = k_2 k_3/(k_1 - k_3)$$

$$f = k_3/(k_1 - k_3)$$

$$k_1 = [1 + (\omega/E) \cdot (1 - V^2)] q_u$$

$$k_2 = q + (\omega/E) \cdot [(1 - V) q_u - V] (1 + V)$$

$$k_3 = -\omega$$

$$k_4 = [1 + (k_3/E) (1 + V) V] q_u$$

$$k_5 = q + (k_3/E) [V q_u - (1 - V)] (1 + V)$$

$$k_6 = \omega / [q + (\omega/E) [(1 - V) q_u - V] (1 + V)]$$

$$q = \tan^2 \alpha$$

$$\alpha = \pi/4 + \phi/2$$

$$q' = \tan^2 \alpha'$$

$$\alpha' = \pi/4 + \phi'/2$$

$$S_2 = \left[ \left\{ c + e(\alpha + B - r) + f(\alpha n + Bn_2 - r) - q'_u/(1-q') \right\} / (p_i - q_{eu}/(1-q')) \right]^{1/(q'-1)}$$

where

$$S_2 = R_2/a$$

$$\alpha = (A_1 - A_2)/A_1$$

$$A_1 = [b - dY - eY - (2P_0 + q_u)/(1+q)] (e + fn_2)$$

$$A_2 = [c - eY - fY - (2P_0 + q_u)/(1+q)] (d + en_2)$$

$$A_{10} = (\alpha^2 - df)(n - m)$$

$$B = (A_{11} - A_{12})/A_{11}$$

$$A_{11} = [b - dY - eY - (2P_0 + q_u)/(1+q)] (e + fn_2)$$

$$A_{12} = [c - eY - fY - (2P_0 + q_u)/(1+q)] (d + en_2)$$

$$A_{13} = (\alpha^2 - df)(m - n)$$

$R_1, R_2 : \text{known}$

図-12 流動域・塑性域計算手順

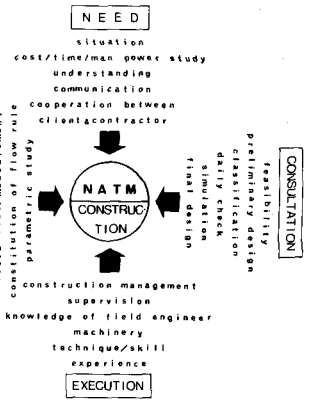


図-13 NATM の要因

$$P_0 = 30 \sim 100 \text{ kg/cm}^2, E = 200 \cdot 8u, q_u = 10 \sim 50 \text{ kg/cm}^2,$$

$$\phi = 10 \sim 15^\circ, P_i = 0 \sim 5 \text{ kg/cm}^2, a = 5 \text{ m}$$

結果を図-9に示す。三軸試験結果を整理すると、図-10に模式的に示すようになり、弾性域、強度劣化域、流動域に判別する。流動域の判定条件は  $\epsilon_p = 1.4\%$  として、図-9の結果とみなれば、ロックボルトの効果を20%、設計が可能である。たとえば、 $P_0 = 30 \text{ kg/cm}^2, q_u = 10 \text{ kg/cm}^2, \phi = 20^\circ$  の場合(図-9(e),(h),(o))、 $\epsilon_p = 1.4\%$  なら、 $P_i = 1.2 \text{ kg/cm}^2, U_w = 25 \text{ cm}, W_1 = 6.6 \text{ m}$  となる。これらの結果から、 $1.2 \text{ kg/cm}^2$  の内圧をもつφ25ボルトを18本/mを使用し、その長さは約2.2倍6.6mに定着長(引抜試験により決定される)を加えたものとすれば( $8 \sim 10 \text{ m}$ )流動域(やきみ域)の発生を抑制できる。そのためには、壁面変位量を25cm以下にするとよりしなければならないことが判る。

#### 5. 塑性域・流動域の算出

図-11に示す弾性域-塑性域-流動域が併存する場合のそれらの範囲や応力、変位状態は、流動域に対して強留強度( $q'_u$ ,  $\phi'$ )を考慮することにより図-12に示す計算過程にしたがって計算することとする。 $P_0 = 5 \text{ kg/cm}^2, q_u = 5 \text{ kg/cm}^2, E = 1000 \text{ kg/cm}^2, V = 0.3, \phi = 15^\circ, \omega = 400 \text{ kg/cm}^2, q'_u = 2.5 \text{ kg/cm}^2, \phi' = 10^\circ, a = 5 \text{ m}$  の場合、 $P_i = 0 \text{ n/mm}^2$ 、塑性域( $\bar{W}_1$ )3.7m、流動域( $\bar{W}_2$ )4.5mとなる。 $P_i = 1 \text{ kg/cm}^2, 2 \text{ m}, \bar{W}_1 = 2.5 \text{ m}, \bar{W}_2 = 1.6 \text{ m}$  となり、 $P_i = 2 \text{ kg/cm}^2, 2 \text{ m}$  流動域は発生しない。

あとがき ロックボルト効果を定量的に取扱うこと試みた。本研究のNATMでの位置づけは、図-13に示すおりである。

## EVALUATION OF ROCKBOLTING EFFECT IN TUNNELLING

by Shojiro HATA, Chikaosa TANIMOTO and Koh KIMURA  
Department of Civil Engineering, Kyoto University

It is known through experiences and studies in the past that the face has an important role as a temporary support. The rock mass near the face is stabilized by the half-dome action in the profile and the ring action in the cross section. When advancing the face, it is required to place the artificial support to substitute for the half-dome action within the span length distance ( $D$ ) from the face so as to mobilize the bearing capacity of the rock mass as fully as possible.

The so-called New Austrian Tunnelling Method ( NATM ), which 'rockbolting' and 'shotcrete lining' are applied adequately, is the latest and most feasible tunnelling method for this purpose. Both of the rockbolts and the shotcrete layer to be placed near the face are subjected to three dimensional stress field.

The main subject mentioned in this paper is how to design rockbolt system in consideration of the three dimensional stress field near the face and elasto-plastic behavior of the rock mass.

Some effects of fully bonded rockbolts placed systematically are 'mobilizing confining stress' and 'decreasing dilatancy'. From this view point, the procedure to design rock bolt system can be proposed by replacing the effects of rockbolting by the inner pressure acting onto the surface of the tunnel wall.

The contents of this paper are the following.

- The three dimensional stress field near the face and deformation of the circular tunnel having the radius 'a'  
(  $a = 5$  meter for the numerical analysis )
- The elasto-plastic behavior of the bolted rock mass being subjected to 'Drucker's plasticity criterion'
- The relationship between plastic region  $W_1$  and inner pressure  $p_i$  in the elasto-plastic rock mass being subjected to 'Mohr-coulomb yield criteria'
- The introduction of the 'strain softening behavior of the rock to the circular tunnel and the analysis of 'softening region' and 'flow region'
- The application to the expanding mudstone tunnel

The procedure proposed in this paper gives the answer to the problem in the rockbolting for the case of Naka-koku, one of the partitions of Nabetachiyama Tunnel ( $D = 10$  m for the underground station) where the expanding mudstone has given big difficulty in tunnelling. When hydrostatic initial stress field ( $p_i$ ), uniaxial compressive strength ( $q_u$ ), angle of internal friction ( $\phi$ ) and the maximum allowance of plastic strain ( $\epsilon_p$ ) are considered to be  $30$  kg/cm $^2$ ,  $10$  kg/cm $^2$ ,  $20$  degree and  $1.4\%$  respectively, it is obtained that the rockbolt system consisting of  $18$  fully bonded bolts ( $\phi 25$ ,  $l = 9$  m) per meter in the profile is required and the maximum allowance of the convergence is  $30$  cm.